

Транспорт в двухтерминальном кольце Ааронова—Бома

© В.А. Гейлер, В.В. Демидов, В.А. Маргулис

Мордовский государственный университет им. Н.П. Огарева,
430000 Саранск, Россия
e-mail: geyley@mrsu.ru

(Поступило в Редакцию 8 февраля 2002 г.)

Найден коэффициент прохождения наноустройства — квантового кольца с двумя присоединенными одномерными проводниками. Гамильтониан наноустройства строится методами теории самосопряженных расширений симметрических операторов. Показано, что в этом случае коэффициент прохождения совпадает со значением, определяемым фейнмановским правилом сложения амплитуд вероятностей. Исследованы зависимости коэффициента прохождения наноустройства от энергии электронов, потока магнитного поля и взаимного расположения контактов проводников и кольца.

Введение

Обнаружение в криволинейных наноструктурах типа кольцевого квантового интерферометра ряда интересных физических эффектов [1–4] вызывает растущий интерес к их теоретическому исследованию [5–13]. Простейшая модель такой наноструктуры представляет собой одномерное кольцо с симметрично присоединенными к нему одномерными проводниками. Эта модель, рассмотренная еще в [5], исследовалась далее в целом ряде работ [6–12]. Для транспортных задач такая идеализированная модель является решающим упрощением реальной ситуации, поскольку позволяет описывать движение электронов только продольной частью волновой функции (одномодовый режим). Достоинство этой модели состоит в том, что она допускает явные простые выражения для коэффициента прохождения наноустройства, которые удобны для анализа. Однако в этой модели возникает проблема шивки волновых функций каналов и кольца в точках контакта; при этом численные результаты, полученные для многомодового режима, показывают важную роль отражения электронных мод обратно в каналы от областей контактов [13]. Существуют два принципиально разных подхода к этой проблеме. Наиболее распространенный подход, сформулированный в [6], заключается в априорном введении матрицы рассеяния контакта, удовлетворяющей закону сохранения потока и симметрии по отношению к обращению времени. Это означает, что комплексная матрица рассеяния должна быть унитарной симметричной матрицей третьего порядка. Такая матрица может быть охарактеризована пятью вещественными независимыми параметрами. Эти параметры являются эмпирическими параметрами модели и их приходится конкретизировать, используя дополнительные и подчас нефизические аргументы: действительность матричных элементов, специальную малость некоторых из них и ряд других. Более детально этот подход анализировался в [9].

На принципиально другом подходе основаны работы [14–23]. В этих работах предлагается описывать электроны в наноустройстве с помощью некоторого

возмущения гамильтониана H_0 , являющегося прямой суммой гамильтонианов каналов H_1, H_2 и одномерного кольца H_r : $H_0 = H_r \oplus H_1 \oplus H_2$. Это возмущение производится в два этапа: H_0 сужается на функции, обращающиеся в нуль в точках контакта, а далее полученный симметричный оператор расширяется до самосопряженного. Все такие расширения описываются краевыми условиями в точках контакта, аналогичными краевым условиям в теории потенциалов нулевого радиуса [24,25]. В этой модели эмпирическими параметрами являются параметры краевых условий. В отличие от теории потенциалов нулевого радиуса они образуют недиагональную эрмитовую матрицу. Параметрам краевых условий можно придать физический смысл, связав их с соответствующими длинами рассеяния.

В данной работе используется второй подход, который в некотором смысле является более общим, чем первый, а именно соответствующие результаты работ [6–11] могут быть воспроизведены в рамках второго подхода, если параметры краевых условий выбрать энергозависящими (по закону const/\sqrt{E}). Это соответствует самосопряженному расширению с выходом в более широкое пространство состояний; конструкция и подробное обсуждение такого рода моделей даны в [24].

Гамильтониан и функция Крейна наноустройства

Как упоминалось выше, наша модель состоит из кольца $\mathbb{S}_\rho = \{x \in \mathbb{R}^2 : |x| = \rho\}$ радиуса ρ с прикрепленными к нему в точках A_1, A_2 полупрямыми W_1, W_2 (рис. 1). На кольце \mathbb{S}_ρ будем рассматривать полярную систему координат, так что точкам A_j соответствуют углы ϕ_j , полупрямые W_j отождествим с двумя копиями положительной полуоси $\mathbb{R}_j^+ = \{x \in \mathbb{R} : x \geq 0\}$ ($j = 1, 2$) (таким образом, точку $0 \in \mathbb{R}_j^+$ мы отождествим с точкой $\phi_j \in \mathbb{S}_\rho$). Кольцо считаем помещенным в магнитное поле, перпендикулярное плоскости кольца, напряженность которого зависит только от расстояния до центра кольца. В этом случае гамильтониан электрона в кольце

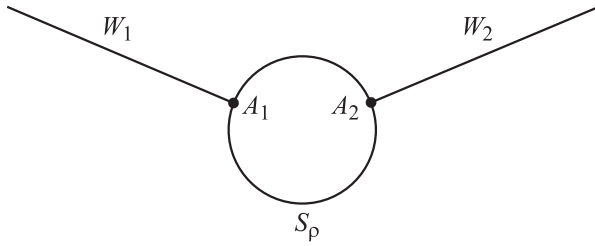


Рис. 1. Кольцо Ааронова–Бома с двумя каналами. Точками отмечены места соединения каналов с кольцом.

имеет вид

$$H_r = \frac{\hbar^2}{2m^*\rho^2} \left(-i \frac{d}{d\phi} + \eta \right)^2. \quad (1)$$

Здесь m^* — эффективная масса электрона; η — число квантов потока магнитного поля через кольцо, т.е. $\eta = 2\pi\Phi_0^{-1} \int_0^\rho B(r)dr$, где $\Phi_0 = 2\pi\hbar c/|e|$ — квант магнитного потока. В изолированном канале \mathbb{R}_j^\pm в качестве невозмущенного гамильтониана берется оператор

$$H_j = -\frac{\hbar^2}{2m^*} \frac{d^2}{dx^2}$$

с условием Неймана в точке $x = 0$: $\psi_j'(0) = 0$. Таким образом, динамика электрона в системе, состоящей из изолированных кольца \mathbb{S}_ρ и каналов \mathbb{R}_j^\pm , описывается самосопряженным оператором $H_0 = H_r \oplus H_1 \oplus H_2$.

Волновая функция ψ любого наноустройства, состоящего из кольца \mathbb{S}_ρ и каналов \mathbb{R}_j^\pm представляет собою одностолбцовую матрицу $\psi = (\psi_r, \psi_1, \psi_2)'$, где ψ_r — функция на кольце \mathbb{S}_ρ , а ψ_j — функция на каналах \mathbb{R}_j^\pm . Если ψ_r, ψ_1, ψ_2 обращаются в нуль в точках A_j , то для гамильтониана H наноустройства значение $\langle \psi | H | \psi \rangle$ должно совпадать с $\langle \psi | H_0 | \psi \rangle$. Это показывает, что H является самосопряженным расширением симметричного оператора V , полученного сужением H_0 на функции ψ , обращающиеся в нуль в точках A_1, A_2 . Известно, что все самосопряженные расширения оператора V описываются краевыми условиями в точках A_j [24], при этом роль граничных значений для ψ играют числа $\psi_i(0), \psi_j'(0), \psi_r(0)$, а также скачки производных $\psi_r'(\phi_j+0) - \psi_r'(\phi_j-0)$ (под $\psi_r'(\phi)$ понимается производная по длине дуги $s = \rho\phi$). В дальнейшем мы ограничимся рассмотрением краевых условий следующего достаточно общего вида:

$$\begin{cases} \psi_r(\phi_j) = \beta_j [\psi_r'(\phi_j+0) - \psi_r'(\phi_j-0)] + \alpha_j \psi_j'(0), \\ \psi_j(0) = \bar{\alpha}_j [\psi_r'(\phi_j+0) - \psi_r'(\phi_j-0)] + \gamma_j \psi_j'(0) \end{cases} \quad (2)$$

($j = 1, 2$).

Параметры $\alpha_j, \beta_j, \gamma_j$ образуют матрицу

$$P = \begin{pmatrix} \beta_1 & 0 & \alpha_1 & 0 \\ 0 & \beta_2 & 0 & \alpha_2 \\ \bar{\alpha}_1 & 0 & \gamma_1 & 0 \\ 0 & \bar{\alpha}_2 & 0 & \gamma_2 \end{pmatrix}. \quad (3)$$

Эрмитовость матрицы P обеспечивает самосопряженность H ; таким образом, гамильтониан нашей модели задается восемью независимыми вещественными параметрами. Замена нулевых элементов P на ненулевые с сохранением эрмитовости P также приведет к самосопряженному, но в некотором смысле нелокальному оператору [26]. С другой стороны, нетривиальная матрица рассеяния для H получится лишь при выборе параметров $\alpha_j, \beta_j, \gamma_j$, отличных от нуля. Далее нам потребуется так называемая \mathcal{Q} -матрица Крейна пары операторов (V, H_0) , которая имеет вид [15]

$$Q(E) = \begin{pmatrix} Q_{11}^{(r)}(E) & Q_{12}^{(r)}(E) & 0 & 0 \\ Q_{21}^{(r)}(E) & Q_{22}^{(r)}(E) & 0 & 0 \\ 0 & 0 & Q_{33}(E) & 0 \\ 0 & 0 & 0 & Q_{44}(E) \end{pmatrix}. \quad (4)$$

Здесь $Q_{ij}^{(r)}(E) = G_r(\phi_i, \phi_j; E)$, $Q_{i+2, i+2}(E) = G_i(0, 0; E)$ ($i, j = 1, 2$), где G_r и G_j — функции Грина гамильтонианов H_r и H_j соответственно. Последние хорошо известны, а именно

$$G_r(\phi, \phi'; E) = \frac{m^*}{2\hbar^2 k} \left[\frac{\exp(i(\phi' - \phi \pm \pi)(\eta - k\rho))}{\sin \pi(\eta - k\rho)} - \frac{\exp(i(\phi' - \phi \pm \pi)(\eta + k\rho))}{\sin \pi(\eta + k\rho)} \right] \quad (5)$$

(знак „плюс“ берется, если $\phi \geq \phi'$, и знак „минус“ — в противном случае),

$$G_j(x, x'; E) = \frac{im^*}{\hbar^2 k} [\exp(ik(x+x')) + \exp(ik|x-x'|)], \quad (6)$$

где $k = \sqrt{2m^*E}/\hbar$.

Как показано в [15], коэффициент прохождения наноустройства выражается через матрицу B , $B = (B_{ij})_{1 \leq i, j \leq 4}$, присоединенную к $Q + 2m^*P/\hbar^2$, точнее через элемент B_{43} этой матрицы, который имеет следующий вид:

$$B_{43} = -4(m^*)^2 \alpha_1 \bar{\alpha}_2 Q_{21}^{(r)}/\hbar^4. \quad (7)$$

Коэффициент прохождения наноустройства

Пусть по первому каналу \mathbb{R}_1^+ распространяется падающая на кольцо волна $\exp(ikx)$. Тогда волновая функция устройства в канале \mathbb{R}_1^+ имеет следующий вид [15,27]

$$\psi_1(x) = \exp(ikx) + \left(1 - \frac{4im^*}{\hbar^2 k} \frac{B_{33}}{\det(Q + 2m^*P/\hbar^2)} \right) \exp(-ikx), \quad (8)$$

а в канале \mathbb{R}_2^+

$$\psi_2(x) = -\frac{4im^*}{\hbar^2 k} \frac{B_{43}}{\det(Q + 2m^*P/\hbar^2)} \exp(ikx). \quad (9)$$

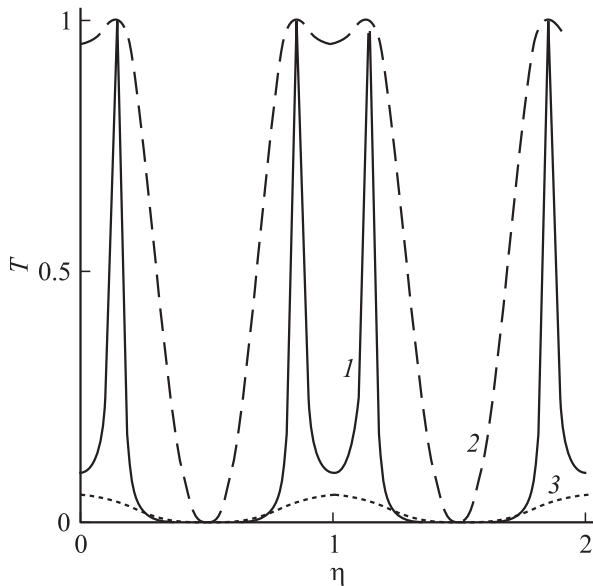


Рис. 2. Зависимость коэффициента прохождения T наноструктуры от потока магнитного поля, пронизывающего кольцо, при фиксированных значениях энергии электронов. kL : 1 — 2.9π , 2 — 2.7π , 3 — 2.4π . Длина рассеяния электронов в областях контактов $\lambda = 75$ nm. Здесь и далее расчет проводился для кольца радиуса $\rho = 350$ nm.

Здесь $Q(E)$ определяется формулой (4), B_{43} — формулой (7). Из сравнения (8) и (9) находим амплитуду прохождения наноструктуры

$$t(E) = -\frac{4im^*B_{43}}{\hbar^2k \det(Q + 2m^*P/\hbar^2)}. \quad (10)$$

Соответственно коэффициент прохождения есть $T(E) = |t(E)|^2$. Из (3) следует, что для выбранной нами модели коэффициент прохождения оказывается функцией восьми независимых вещественных параметров. Введем в рассмотрение длину рассеяния λ заряженной частицы на точечном потенциале и положим для простоты все параметры граничных условий одинаковыми и равными $\lambda/2$. Это означает, что мы рассматриваем одинаково возмущенные каналы и кольцо и, кроме того, склейку каналов и кольца осуществляем одинаковым образом. Легко видеть, что тогда $Q_{33} = Q_{44} = 2im^*/\hbar^2k$, а величины $Q_{11}^{(r)}$ и $Q_{22}^{(r)}$ при вещественном k равны

$$Q_{11}^{(r)} = Q_{22}^{(r)} = \frac{m^*}{\hbar^2k} \frac{\sin kL \cos kL}{\sin^2 \pi\eta - \sin^2 kL}. \quad (11)$$

Здесь $L = \pi\rho$ — длина полукольца. В случае диаметрально противоположного расположения контактов на кольце ($\phi_1 = 0$, $\phi_2 = \pi$) недиагональные элементы $Q^{(r)}$ приобретают вид

$$Q_{12}^{(r)} = Q_{21}^{(r)} = \frac{m^*}{\hbar^2k} \frac{\sin kL \cos \pi\eta}{\sin^2 \pi\eta - \sin^2 kL}, \quad (12)$$

а определитель матрицы

$$\det Q^{(r)} = \left(\frac{m^*}{\hbar^2k}\right)^2 \frac{\sin^2 kL}{\sin^2 \pi\eta - \sin^2 kL}. \quad (13)$$

Из выражений (10)–(13) после несложных преобразований получаем следующую формулу:

$$T(k, \eta) = \left\{ 1 + \left[\left(\frac{3}{4} - \frac{1}{\lambda^2 k^2} \right) \sin kL - \frac{2}{\lambda k} \cos kL - \frac{\sin^2 \pi\eta}{\sin kL} \right]^2 \frac{1}{\cos^2 \pi\eta} \right\}^{-1}. \quad (14)$$

Из (14) видно, что $T(k, \eta)$ является периодической функцией потока η с периодом, равным кванту потока (рис. 2). При $kL = \pi n$, $n = 1, 2, \dots$ (т.е. когда энергия электронов совпадает с энергетическими уровнями электронов в изолированном кольце) коэффициент прохождения $T(k, \eta)$ обращается в нуль.

Рассмотрим вначале зависимость T от k в случае нулевого магнитного поля (такой же результат получается и в случае целого потока поля через кольцо). Соответствующие этому случаю графики приведены на рис. 3. Как видно, осцилляции кривой $T(k)$ располагаются неэквидистантно на оси kL . Из (14) следует, что максимумы $T(k)$ находятся в точках, являющихся корнями трансцендентного уравнения

$$2 \operatorname{ctg} kL = \frac{3}{4} \lambda k - \frac{1}{\lambda k}. \quad (15)$$

Эти корни при $k \rightarrow \infty$ имеют асимптотику

$$k = \frac{\pi n}{L} + \frac{8L}{3\pi\lambda n} + O\left(\frac{1}{n^2}\right). \quad (16)$$

Максимальные значения амплитуд всех осцилляций равны единице. Минимумы осцилляций располагаются на огибающей вида

$$f(k) = \left(\frac{5}{4} + \frac{1}{\lambda^2 k^2} \right)^{-2}. \quad (17)$$

Как следует из граничных условий (2), выражения для амплитуд прохождения t и отражения r на одиночном контакте имеют вид

$$t = \frac{2\lambda k}{3\lambda k + 2i}, \quad r = -\frac{\lambda k + 2i}{3\lambda k + 2i}. \quad (18)$$

При сделанных выше предположениях эти выражения одинаковы при рассеянии на любом контакте и в любом направлении движения электрона (из канала в кольцо или из кольца в канал). Из (18) видно, что прохождение электроном контакта сопровождается изменением фазы волновой функции на величину

$$\delta(k) = \operatorname{arctg} \frac{2}{3\lambda k}, \quad (19)$$

чем обусловлена неэквидистантность пиков в $T(k)$, особенно существенная при относительно небольших k . Изменение знака λ ведет к изменению знака сдвига фазы $\delta(k)$.

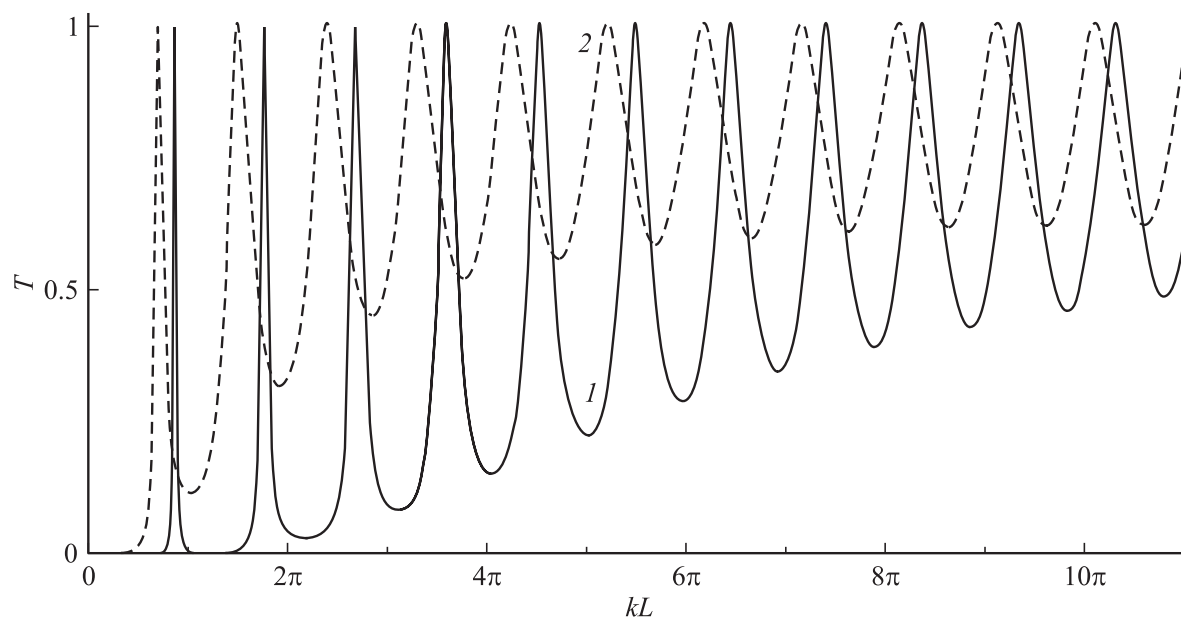


Рис. 3. Зависимость коэффициента прохождения T наноструктуры от волнового числа электрона при нулевом (или целочисленном) потоке магнитного поля, пронизывающего кольцо, для разных значений длины рассеяния, λ , нм: 1 — 75, 2 — 250.

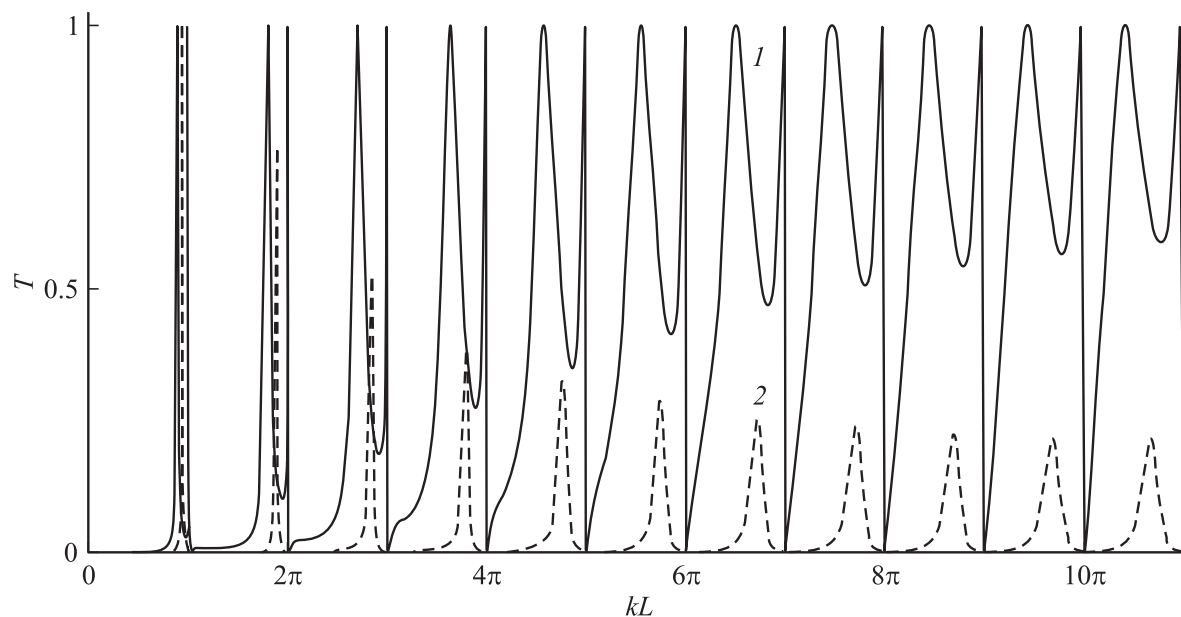


Рис. 4. Зависимость коэффициента прохождения T наноструктуры от волнового числа электрона при наличии магнитного поля η : 1 — 0.14, 2 — 0.47. Здесь и далее длина рассеяния $\lambda = 75$ нм.

Рассмотрим теперь наноструктуру, помещенное в магнитное поле. Соответствующие этому случаю графики приведены на рис. 4. Нули $T(k, \eta)$ возникают в точках $kL = \pi n$ ($n = 1, 2, \dots$), только когда поток η нецелый (нули $T(k, \eta)$ совпадают с нулями $Q_{21}^{(r)}$, а при целом потоке элемент $Q_{21}^{(r)}$ не имеет нулей). Если же поток η полуцелый, то $T(k, \eta)$ обращается в нуль при всех k . Эти интерференционные эффекты объясняются

следующим образом. При наличии внешнего магнитного поля волновые функции электронов, прошедших по разным полукольцам, испытывают фазовые сдвиги разных знаков $k\rho + \eta$ и $k\rho - \eta$. При нечетном значении $k\rho$ мнимые части волновых функций на выходе из кольца имеют противоположные знаки и при сложении компенсируются (как бы мало ни было поле B , а следовательно и фазовый сдвиг $\pi\eta$), а вещественные части

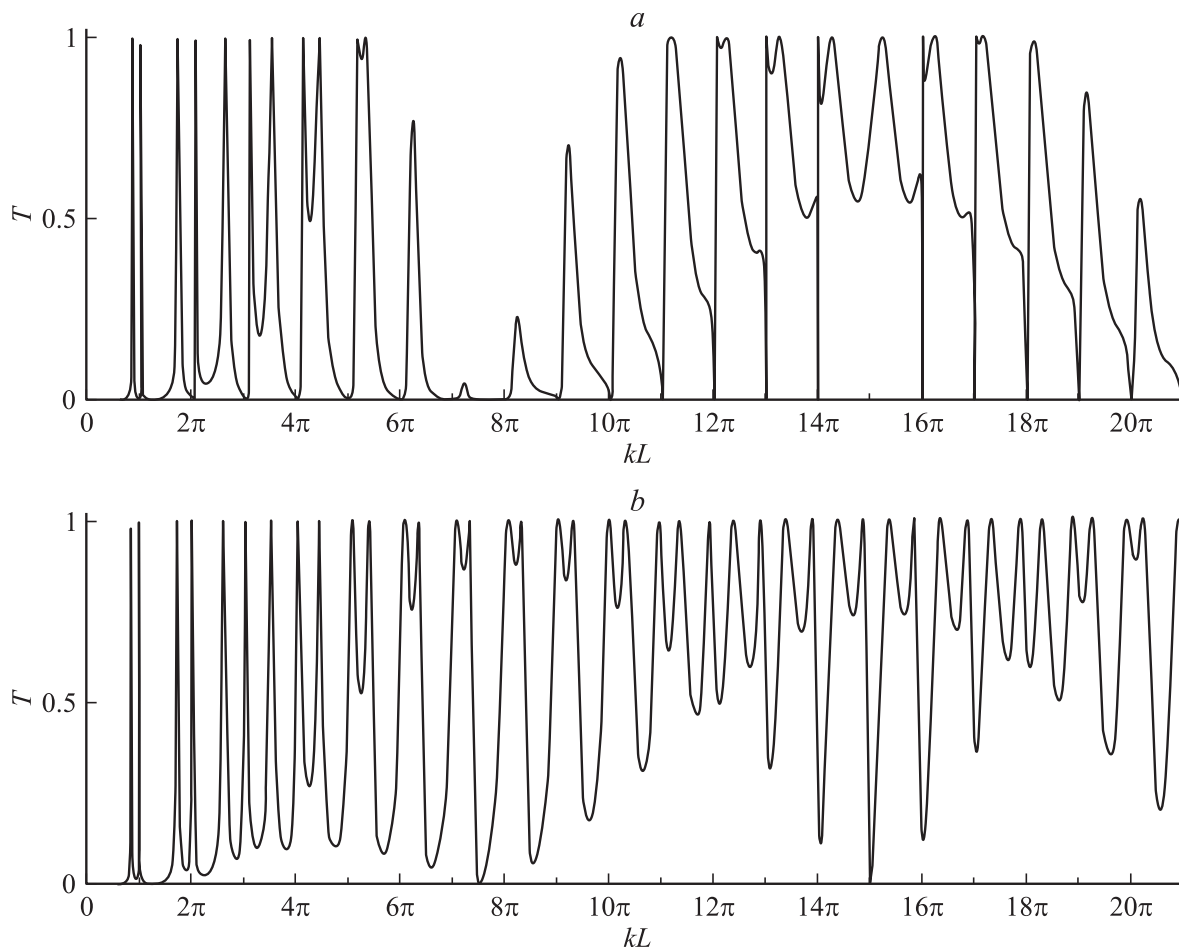


Рис. 5. Зависимость коэффициента прохождения T от волнового числа электрона в случае несимметричного расположения контактов на кольце ($\phi_1 = 0$, $\phi_2 = 14\pi/15$). a — в отсутствие магнитного поля; b — при наличии магнитного поля: $\eta = 0.07$.

волновых функций электронов, прошедших все кольцо в противоположных направлениях, компенсируются в точке входа в кольцо. Обращение в нуль коэффициента прохождения $T(k, \eta)$ при полуволновом потоке η объясняется аналогично приведенному выше с той лишь разницей, что теперь волновые функции электронов, прошедших разные полукольца, имеют разность фаз, кратную π . Поэтому волновые функции компенсируются на выходе из кольца, но уже при любом k .

Дополнительные максимумы на графике $T = T(k, \eta)$ единичной высоты (только в случае нецелого потока магнитного поля) обусловлены слагаемым $\sin^2 \pi\eta / \sin kL$ в (10), из-за которого возникают дополнительные корни у выражения в квадратной скобке. Все максимумы функции $T(k, \eta)$ связаны с интерференцией волновых функций электронов, испытывающих многократные отражения в точках контактов проводников и кольца. Несимметричное положение максимумов объясняется сдвигом фазы волновых функций в точках контактов.

Рассмотрим теперь случай несимметричного подключения каналов к кольцу ($\phi_1 = 0$, $\phi_2 \neq \pi$). Диагональ-

ные элементы $Q^{(r)}$ по-прежнему описываются формулами (11), недиагональные имеют вид

$$Q_{12}^{(r)} = \overline{Q_{21}^{(r)}} = \frac{2m^*}{\hbar^2 k} \exp(-i(\pi - \phi_2)\eta) \times \frac{\sin kL \cos \pi\eta \cos(\pi - \phi_2)k\rho + i \cos kL \sin \pi\eta \sin(\pi - \phi_2)k\rho}{\sin^2 \pi\eta - \sin^2 kL}. \quad (20)$$

Определитель $Q^{(r)}$ легко найти

$$\det Q^{(r)} = 2 \left(\frac{m^*}{\hbar^2 k} \right)^2 \frac{\sin^2 kL - \sin^2(\pi - \phi_2)k\rho}{\sin^2 \pi\eta - \sin^2 kL}. \quad (21)$$

Теперь коэффициент прохождения записывается в виде

$$T(k, \eta) = [1 + F_1^2(k, \eta)/F_2(k, \eta)]^{-1}, \quad (22)$$

где

$$F_1(k, \eta) = \left(\frac{3}{4} - \frac{1}{\lambda^2 k^2} \right) \sin^2 kL - \frac{1}{\lambda k} \sin 2kL + \left(\frac{1}{4} + \frac{1}{\lambda^2 k^2} \right) \sin^2(\pi - \phi_2)k\rho - \sin^2 \pi\eta, \quad (23)$$

$$F_2(k, \eta) = \sin^2 kL \cos^2 \pi\eta \cos^2(\pi - \phi_2)k\rho + \cos^2 kL \sin^2 \pi\eta \sin^2(\pi - \phi_2)k\rho. \quad (24)$$

Проведем анализ выражения коэффициента прохождения сначала в отсутствие магнитного поля. В этом случае выражения (23), (24) упрощаются и принимают вид

$$F_1(k, 0) = \left(\frac{3}{4} - \frac{1}{\lambda^2 k^2}\right) \sin^2 kL - \frac{1}{\lambda k} \sin 2kL + \left(\frac{1}{4} + \frac{1}{\lambda^2 k^2}\right) \sin^2(\pi - \phi_2)k\rho, \quad (25)$$

$$F_2(k, 0) = \sin^2 kL \cos^2(\pi - \phi_2)k\rho. \quad (26)$$

Из формул (22), (25) и (26) следует, что максимумы $T(k)$ возникают в точках, являющихся нулями функции $F_1(k)$. В отличие от симметричного расположения контактов на кольце в случае общего положения максимумы T имеют дублетную структуру для электронов с малой энергией. Это связано с тем, что в выражении (25) из-за множителя у последнего слагаемого возникают дополнительные корни при $k < 2/\lambda\sqrt{3}$ (в выражении в квадратных скобках формулы (14) этот множитель постоянный). Нули функции $T(k)$ совпадают с нулями функции F_2 и возникают в точках вида $kL = \pi n$, $n \in \mathbb{N}$, кроме точек $q\pi n$, где функция F_1 обращается в нуль, и в точках $kL = q\pi(1/2 + n)$, где q — знаменатель дроби $\phi_2 = p\pi/q$. На рис. 5, а приведены графики зависимости $T(k)$ в случае отсутствия магнитного поля. Из-за наличия множителя $\cos^2(\pi - \phi_2)k\rho$ в функции F_2 кривая $T(k)$ состоит из волновых пакетов ширины $\pi^2/|\pi - \phi_2|$ (за исключением первого пакета пиков, ширина которого в два раза меньше). Можно отметить некоторое сходство формы дополнительных осцилляционных пиков, возникающих в случае магнитного поля и симметричного расположения контактов на кольце, с формой осцилляций, возникающих при несимметричном подключении контактов к кольцу. Это связано с тем, что магнитное поле сдвигает фазу волновой функции электрона, поэтому для электронов, движущихся по разным полукольцам, пройденный путь либо эффективно уменьшается, либо эффективно увеличивается.

Для наноустройства, помещенного в магнитное поле (с потоком, отличным от целого и полуцелого), максимумы кривой $T(k)$ сглаживаются, характер осцилляционных пиков напоминает биения (рис. 5, б). При этом нули в точках $kL = \pi n$, $n \in \mathbb{N}$ поднимаются вверх и становятся минимумами, а в точках вида $kL = q\pi n$ и $kL = q\pi(1/2 + n)$ нули сохраняются. Последнее обусловлено поведением функций F_1 и F_2 , определяемых теперь выражениями (23), (26).

Вычисление коэффициента прохождения кольца с помощью фейнмановского правила сложения амплитуд

В этом разделе показано, что выражение для амплитуды прохождения $t^{(r)}$ одномерного кольца Ааронова–Бома с двумя присоединенными каналами может быть получено с помощью фейнмановского правила сложения амплитуд волновых функций электронов, прошедших все топологически различные траектории в кольце. Для простоты будем считать контакты одинаковыми ($\alpha_{\pm} = \beta_{\pm} = \gamma_{\pm} = \lambda/2$), симметрично расположенными ($\phi_1 = 0$, $\phi_2 = \pi$), поток магнитного поля — нулевым. В этом случае выражение для амплитуды прохождения наноустройства (10) может быть записано в виде

$$t^{(r)}(k) = \frac{\lambda^2 k^2}{(\lambda^2 k^2 + 2i\lambda k) \cos kL - i(5\lambda^2 k^2/4 + i\lambda k - 1) \sin kL}. \quad (27)$$

Пусть по левому каналу распространяется падающая волна $\exp(ikx)$. Рассмотрим волновые функции электронов, проходящих различные траектории в кольце и прошедших в правый канал. Коэффициенты прохождения и отражения из канала в любое полукольцо и из кольца в канал определяются формулами (18). Волны, прошедшие путь длиной полукольца, всего две: прошедшая верхнее полукольцо и прошедшая нижнее полукольцо (их вид на выходе $t^2 \exp(ikL)$). Каждая из этих волн будет иметь составляющую, прошедшую обратно в кольцо. Далее, ввиду симметрии устройства, достаточно рассматривать только волны, прошедшие верхнюю половину кольца (аналогичная картина имеет место для волн, прошедших в первый раз нижнюю половину канала, поэтому результат необходимо просто удвоить). Волны, отраженные обратно в кольцо и прошедшие путь длиной $3L$, четыре: $t^4 \exp(ikL)$, $t^2 r t \exp(ikL)$, $t r t^2 \exp(ikL)$, $t^2 r^2 \exp(ikL)$. Каждая из этих четырех волн тоже имеет составляющую, прошедшую обратно в кольцо. Производя сложение всех волн, выходящих из кольца „направо“, получим, что их сумма имеет вид геометрической прогрессии

$$\begin{aligned} t^{(r)} &= 2[t^2 \exp(ikL) + t^2(t^2 + 2tr + r^2) \exp(3ikL) \\ &\quad + t^2(t^2 + 2tr + r^2)^2 \exp(5ikL) + \dots] \\ &= 2t^2 \exp(ikL) [1 + (t+r)^2 \exp(2ikL) \\ &\quad + (t+r)^4 \exp(4ikL) + \dots] \\ &= \frac{2t^2}{\exp(-ikL) - (t+r)^2 \exp(ikL)}. \end{aligned}$$

Далее, с учетом (18) получаем

$$t^{(r)} = \frac{8\lambda^2 k^2}{(3\lambda k + 2i)^2 \exp(-ikL) - (\lambda k - 2i)^2 \exp(ikL)}$$

$$= \frac{\lambda^2 k^2}{(\lambda^2 k^2 + 2i\lambda k) \cos kL - i(5\lambda^2 k^2/4 + i\lambda k - 1) \sin kL}. \quad (28)$$

Как видно, выражения (27) и (28) совпадают. Аналогичные, хотя более громоздкие вычисления можно проделать и в общем случае.

Заключение

Как следует из вышеизложенного, зависимость коэффициента прохождения наноструктуры от энергии электронов носит осцилляционный характер; осцилляции обусловлены интерференцией волновых функций электронов в кольце. В общем случае несимметричного расположения ($\phi_1 = 0$, $\phi_2 \neq \pi$) контактов на кольце и в отсутствие магнитного поля пики образуют пакеты (рис. 4). Эти пики имеют дублетную структуру при относительно небольших значениях энергии. С ростом энергии в дублетной структуре пиков один из максимумов уменьшается и при достаточно больших энергиях исчезает. Ширина каждого пакета равна $\pi^2/|\pi - \phi_2|$, за исключением первого пакета, ширина которого в два раза меньше. С ростом магнитного поля пакеты исчезают, осцилляционные пики сглаживаются и конфигурация пиков имеет характер биений.

В особом случае симметричного расположения контактов на кольце ($\phi_1 = 0$, $\phi_2 = \pi$) и в отсутствие магнитного поля график $T(k)$ имеет снизу огибающую точек минимумов вида (17), а значения T в точках максимумов равны единице. При положительных значениях длины рассеяния λ точки максимумов кривой $T(k)$ расположены правее точек πn ($n = 0, 1, \dots$) и асимптотически приближаются к последним с ростом k . При отрицательных λ максимумы $T(k)$ находятся левее точек $n = 1, 2, \dots$ и асимптотически приближаются к ним с ростом k . Аналогичное поведение кривой $T(k)$ наблюдается в модели, рассмотренной в [12].

При наличии магнитного поля с потоком, отличным от целых и полужелых значений, на графике $T(k)$ возникают глубокие до нуля минимумы в точках, соответствующих собственным уровням энергии изолированного кольца, и при $\lambda > 0$ слева от минимумов возникают дополнительные острые максимумы с высотой равной единице. При приближении значения потока поля к полужелому числу минимумы расширяются, максимумы сглаживаются и коэффициент прохождения наноструктуры обращается в нуль при всех k . В отличие от кривых $T(k)$, полученных в [6], в нашем случае $T(k)$ не является строго периодической функцией волнового числа k . При больших k график $T(k)$ на рис. 4 качественно совпадает с кривыми, полученными в [6],

однако он демонстрирует сильную асимметрию при низких значениях энергии. Строгая периодичность по k , полученная в [6], является артефактом выбранной в [6] модели, которая в этом смысле близка к моделям типа сильной связи (в последних все зоны имеют одинаковую структуру).

Работа выполнена при поддержке грантов РФФИ (№ 01-02-16564 а), DFG (N 436 RUS 113/572/1) и INTAS (N 00-257).

Список литературы

- [1] Liu J., Ismail K., Loe K.Y. et al. // Phys. Rev. B. 1993. Vol. 47. N 19. P. 13 039–13 042.
- [2] Morpurgo A.F., Heida J.P., van Wees B.J. et al. // Physica B. 1998. P. 509–512.
- [3] Shea H.R., Martel R., Avouris Ph. // Phys. Rev. Lett. 2000. Vol. 84. N 19. P. 4441–4444.
- [4] Pedersen S., Hansen A.E., Kristensen A. et al. // Phys. Rev. B. 2000. Vol. 61. N 8. P. 5457–5460.
- [5] Büttiker M., Imry Y., Landauer R. // Phys. Lett. 1983. Vol. A96. N 4. P. 365–370.
- [6] Büttiker M., Imry Y., Azbel M.Ya. // Phys. Rev. A. 1984. Vol. 30. N 4. P. 1982–1989.
- [7] Gefen Y., Imry Y., Azbel M.Ya. // Phys. Rev. Lett. 1984. Vol. 52. N 2. P. 129–132.
- [8] Takai D., Ohta K. // Phys. Rev. B. 1993. Vol. 48. N 19. P. 14 318–14 324.
- [9] Рыжкин И.А. // ФТТ. 1999. Т. 41. Вып. 11. С. 2070–2074.
- [10] Xia J.-B. // Phys. Rev. B. 1992. Vol. 45. N 7. P. 3593–3599.
- [11] Li J., Zhang Z.-Q., Liu Y. // Phys. Rev. B. 1997. Vol. 55. N 8. P.5337–5343.
- [12] Баграев Н.Т., Буравлев А.Д., Иванов В.К. и др. // ФТП. 2000. Т. 34. № 7. С. 846–856.
- [13] Ткаченко О.А., Ткаченко В.А., Бакшеев Д.Г. и др. // Письма в ЖЭТФ. 2000. Т. 71. Вып. 6. С. 366–371.
- [14] Exner P., Šeba P. Ideas and methods in quantum physics / Ed. S. Albeverio et al. Cambridge University Press, 1992. Vol. 2. P. 227–253.
- [15] Гейлер В.А., Попов И.Ю. // ТМФ. 1996. Т. 107. № 1. С. 12–20.
- [16] Pavlov B.S., Popov I.Yu., Geyler V.A. et al. // Europhys. Lett. 2000. Vol. 52. P. 196–202.
- [17] Kurasov P., Stenberg F. On the Inverse Scattering Problem of Brandching Graphs. Preprint. Stockholm University, 2001. N 7. P. 1–28.
- [18] Geyler V.A., Popov A.V. // Reps Math. Phys. 1998. Vol. 42. P. 347–358.
- [19] Bogevolnov V.B., Mikhailova A.B., Pavlov B.S. About Scattering on the Ring. Preprint. Auckland University, 1999. N 413. P. 1–16.
- [20] Exner P., Tater M., Vaněk D. // J. Math. Phys. 2001. Vol. 42. N 9. P. 4050–4078.
- [21] Texier C., Montambaux G. // J. Phys. A. 2001. Vol. 34. N 9. P. 10 307–10 326.
- [22] Mikhailova A.B., Pavlov B.S., Popov I.Yu. et al. Scattering on a Compact Domain with Few Semiinfinite Wires Attached: Resonance Case. Preprint. Auckland University, 2000. N 420. P. 1–17.

- [23] *Mikhailova A.B., Pavlov B.S.* Resonance Triadic Quantum Switch. Preprint. Auckland University, 2001. N 474. P. 1–38.
- [24] *Павлов Б.С.* // УМН. 1987. Т. 42. Вып. 6. С. 99–131.
- [25] *Альбеверио С., Гестези Ф., Холден Х., Хезг-Крон Р.* Решаемые модели в квантовой механике. М.: Мир, 1991. 568 с.
- [26] *Шондин Ю.Г.* // ТМФ. 1996. Т. 106. № 2. С. 179–199.
- [27] *Brüning J., Geyley V.A.* Scattering on Compact Manifolds with Infinitely Thin Horns. Preprint. Humboldt University (Berlin), 2001. P. 1–36.